

## 1 算法概述

### 1.1 最速下降法

第1步 选取初始点  $x^0$ , 给定终止误差  $\varepsilon > 0$ , 令  $k := 0$ ;

第2步 计算  $\nabla f(x^k)$ , 若  $\|\nabla f(x^k)\| \leq \varepsilon$ , 停止迭代. 输出  $x^k$ . 否则进行第三步;

第3步 取  $p^k = -\nabla f(x^k)$ ;

第4步 进行一维搜索, 求  $t_k$ , 使得

$$f(x^k + t_k p^k) = \min_{t \geq 0} f(x^k + t p^k)$$

令  $x^{k+1} = x^k + t_k p^k$ ,  $k := k + 1$ , 转第2步。

### 1.2 阻尼牛顿法

步0 给定终止误差值  $0 \leq \varepsilon \ll 1$ ,  $\delta \in (0, 1)$ ,  $\sigma \in (0, 0.5)$ . 初始点  $x_0 \in \mathbb{R}^n$ . 令  $k := 0$ .

步1 计算  $g_k = \nabla f(x_k)$ . 若  $\|g_k\| \leq \varepsilon$ , 停算, 输出  $x^* \approx x_k$ .

步2 计算  $G_k = \nabla^2 f(x_k)$ , 并求解线性方程组得解  $d_k$ :

$$G_k d = -g_k \quad (3.6)$$

步3 记  $m_k$  是满足下列不等式的最小非负整数  $m$ :

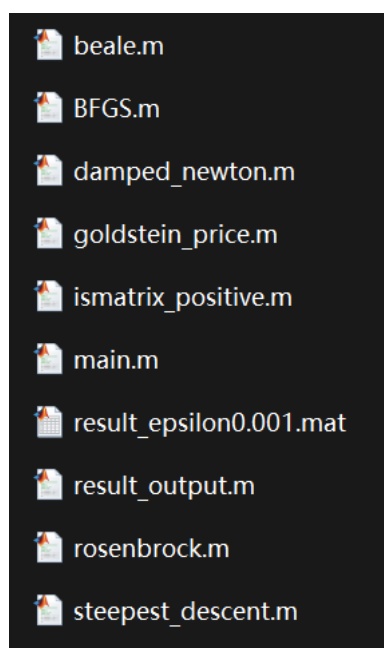
$$f(x_k + \delta^m d_k) \leq f(x_k) + \sigma \delta^m g_k^T d_k. \quad (3.7)$$

步4 令  $\alpha_k = \delta^{m_k}$ ,  $x_{k+1} = x_k + \alpha_k d_k$ ,  $k := k + 1$ , 转步1.

### 1.3 BFGS 方法

- (1) 给定  $x^1$ ,  $\varepsilon > 0$ 。
- (2)  $H_1 = I_n$ , 计算  $g_1 = \nabla f(x^1)$ ,  $k = 1$ 。
- (3)  $d^k = -H_k g_k$ 。
- (4)  $f(x^k + \alpha_k d^k) = \min_{\alpha \in [0, \infty)} f(x^k + \alpha d^k)$ , 则  $x^{k+1} = x^k + \alpha_k d^k$ 。
- (5) 若  $\|\nabla f(x^{k+1})\| < \varepsilon$ , 停止, 得  $\bar{x} = x^{k+1}$  否则执行 (6)。
- (6)  $g_{k+1} = \nabla f(x^{k+1})$ ,  $p^k = x^{k+1} - x^k$ ,  $q^k = g_{k+1} - g_k$ , 计算  $H_{k+1}$ , 令  $k = k + 1$ , 返回 (3)。

## 2 程序编写



程序架构如下：

- (1) rosenbrock、beale、goldstein\_price 分别为对应函数的求值函数

```
function [value, gradient_q, hessian_q] = goldstein_price(x)
% input: [x; y] output: value gradient hessian
function [value, gradient_q, hessian_q] = rosenbrock(x)
% input: [x; y] output: value gradient hessian
function [value, gradient_q, hessian_q] = beale(x)
% input: [x; y] output: value gradient hessian
```

(2) damped\_newton、steepest\_descent、BFGS 分别为对应算法的迭代函数

```
function [x_bar, fmin, data] = BFGS(func, x0, epsilon)
    % output: x_bar—最优点 fmin—最优值
    % input: func—目标函数 x0—初始点 epsilon—允许误差
function [x_bar, fmin, data] = damped_newton(func, x0, epsilon)
    % output: x_bar—最优点 fmin—最优值
    % input: func—目标函数 x0—初始点 epsilon—允许误差
function [x_bar, fmin, data] = steepest_descent(func, x0, epsilon)
    % output: x_bar—最优点 fmin—最优值
    % input: func—目标函数 x0—初始点 epsilon—允许误差
```

(3) result\_output 为数据可视化输出函数

```
function [rosenbrock_t, beale_t, goldstein_t] =
result_output(iterative_method, epsilon, x0_rosenbrock, x0_beale,
x0_goldstein)
    % input: iterative_method—迭代方法
    %         epsilon—允许误差 default: 0.001
    %         x0—迭代初始点 default: (0, 0)
```

(4) main 函数调用 result\_output 函数输出计算结果

```
[rosenbrock_SteepestDescent_result, beale_SteepestDescent_result,
goldstein_SteepestDescent_result] = result_output(@steepest_descent);

[rosenbrock_DampedNewton_result, beale_DampedNewton_result,
goldstein_DampedNewton_result] = result_output(@damped_newton);

[rosenbrock_BFGS_result, beale_BFGS_result, goldstein_BFGS_result] =
result_output(@BFGS);
```

### 3 优化结果

计算的结果均保存在对应的结构体中

名称 ^	值
 beale_BFGS_result	1x1 struct
 beale_DampedNewto...	1x1 struct
 beale_SteepestDescen...	1x1 struct
 goldstein_BFGS_result	1x1 struct
 goldstein_DampedNe...	1x1 struct
 goldstein_SteepestDes...	1x1 struct
 rosenbrock_BFGS_result	1x1 struct
 rosenbrock_DampedN...	1x1 struct
 rosenbrock_SteepestD...	1x1 struct

```
>> disp(beale_BFGS_result)
```

```
x_bar: [2×1 double]
```

```
fmin: 3.2917e-09
```

```
data: [1×1 struct]
```

```
iteration_process: [10×4 table]
```

### 3.1 问题最优解

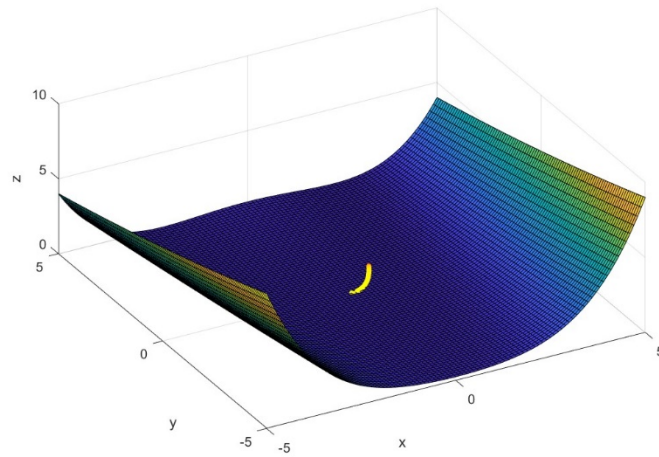
迭代初始点与允许误差设置如下：

```
%      epsilon—允许误差 default: 0.001
%      x0—迭代初始点 defalut: (0, 0)
% 为参数赋默认值
if nargin < 2 || isempty(epsilon)
    epsilon = 0.001;
end
if nargin < 3 || isempty(x0_rosenbrock)
    x0_rosenbrock = [0; 0];
end
if nargin < 4 || isempty(x0_beale)
    x0_beale = [4; 0.6];
end
if nargin < 5 || isempty(x0_goldstein)
    x0_goldstein = [0.5; -0.5];
    % goldstein price 函数具有多个局部极小点，需要选取合适初始点才可迭代到全
    局最优解
end
```

#### 3.1.1 rosenbrock 函数优化结果

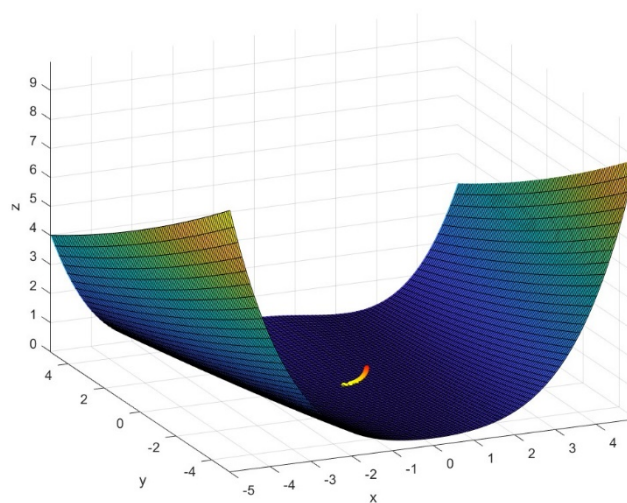
(1) 最速下降算法迭代结果

x_bar	[0.9991;0.9981]
fmin	8.8341e-07
data	1x1 struct
iteration_process	5843x4 table



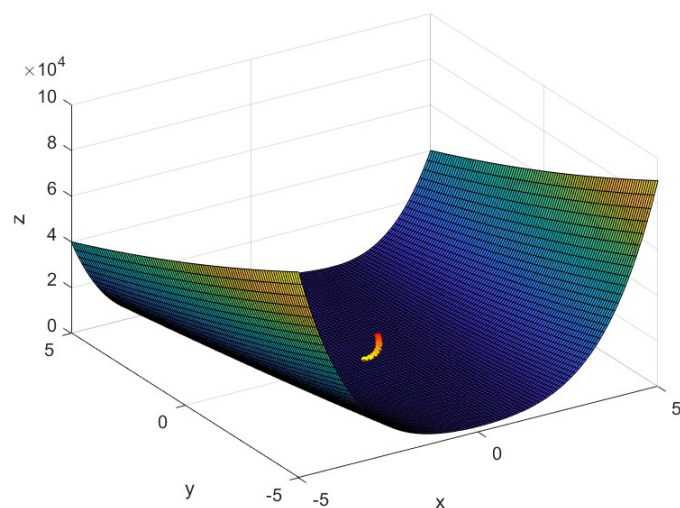
(2) 阻尼牛顿法算法迭代结果

x_bar	[1.0000;1.0000]
fmin	1.2882e-11
data	1x1 struct
iteration_process	141x4 table



(3) BFGS 算法迭代结果

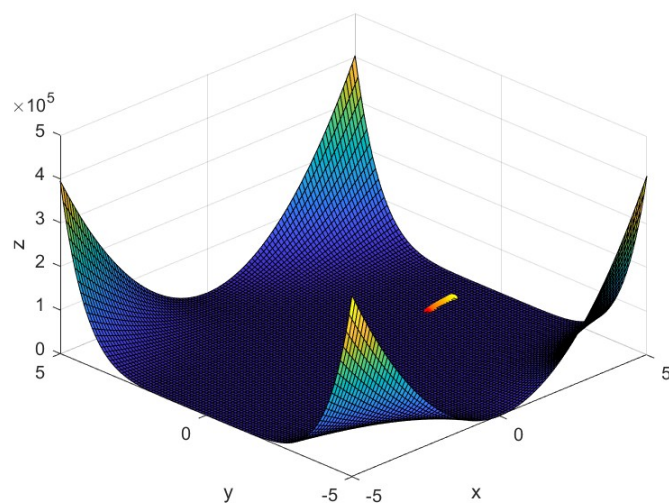
x_bar	[0.9995;0.9990]
fmin	2.4675e-07
data	1x1 struct
iteration_process	21x4 table



### 3.1.2 beale 函数优化结果

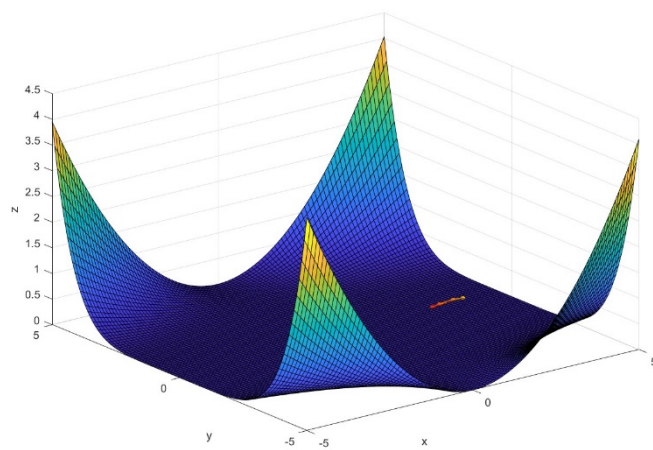
(1) 最速下降算法迭代结果

x_bar	[3.0024;0.5006]
fmin	9.3271e-07
data	1x1 struct
iteration_process	844x4 table



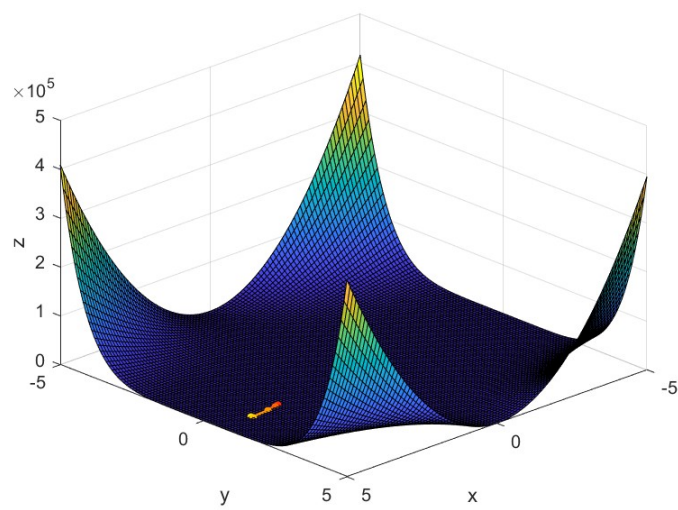
(2) 阻尼牛顿法算法迭代结果

x_bar	[2.9999;0.5000]
fmin	1.2486e-09
data	1x1 struct
iteration_process	5x4 table



(3) BFGS 算法迭代结果

x_bar	[3.0000;0.5000]
fmin	3.2917e-09
data	1x1 struct
iteration_process	10x4 table

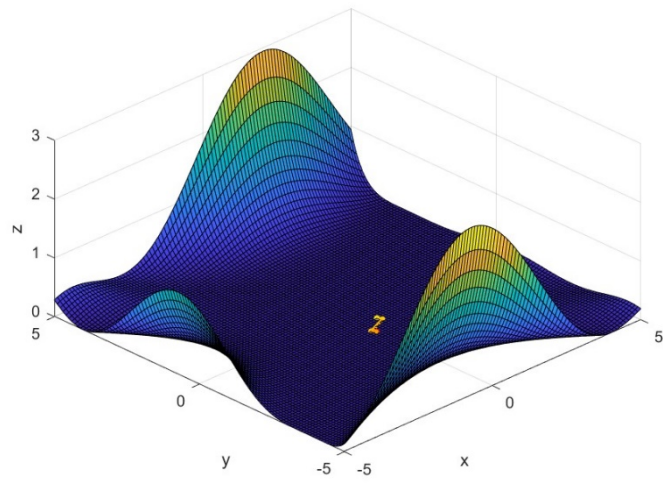


### 3.1.3 goldstein\_price 函数优化结果

(1) 最速下降算法迭代结果

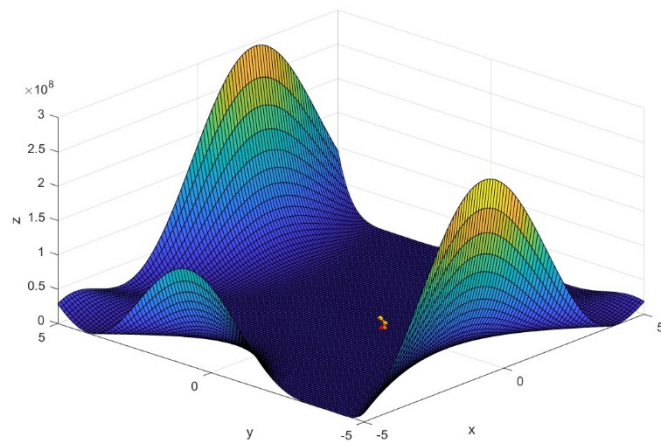
x_bar	[9.4229e-07;-1.0000]
fmin	3.0000
data	1x1 struct
iteration_process	11x4 table





(2) 阻尼牛顿法算法迭代结果

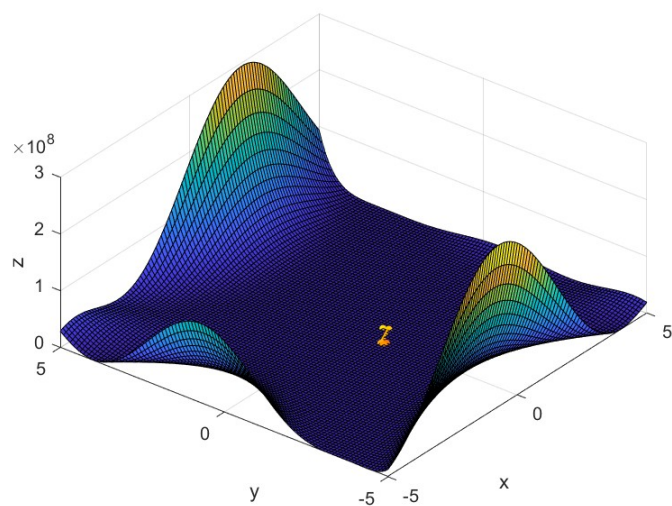
x_bar	<code>[-3.0923e-09;-1.0000]</code>
fmin	3.0000
data	<i>1x1 struct</i>
iteration_process	<i>6x4 table</i>



(3) BFGS 算法迭代结果

x_bar	<code>[-3.9749e-07;-1.0000]</code>
fmin	3.0000
data	<i>1x1 struct</i>
iteration_process	<i>10x4 table</i>



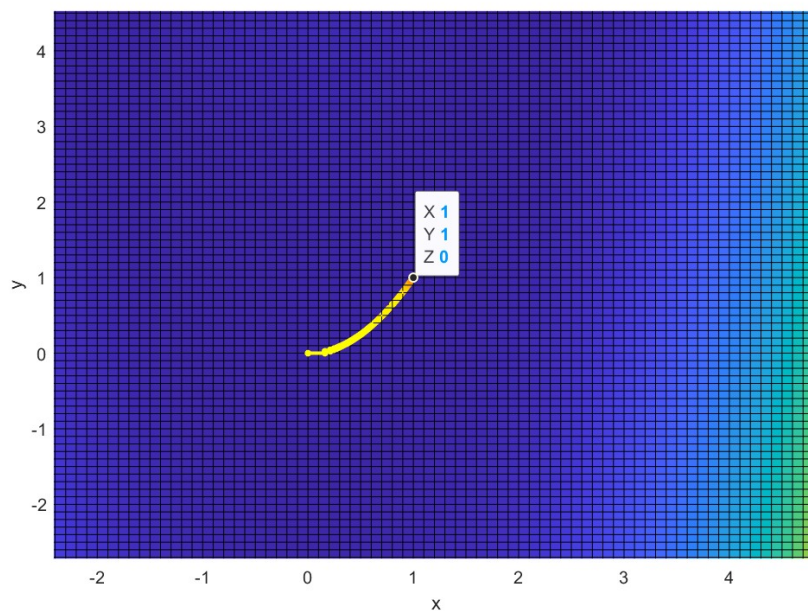


## 3.2 收敛路径与收敛速率

收敛路径由黄色变为红色，代表迭代由初始点到达最终点，越靠近迭代重点红色越突出。

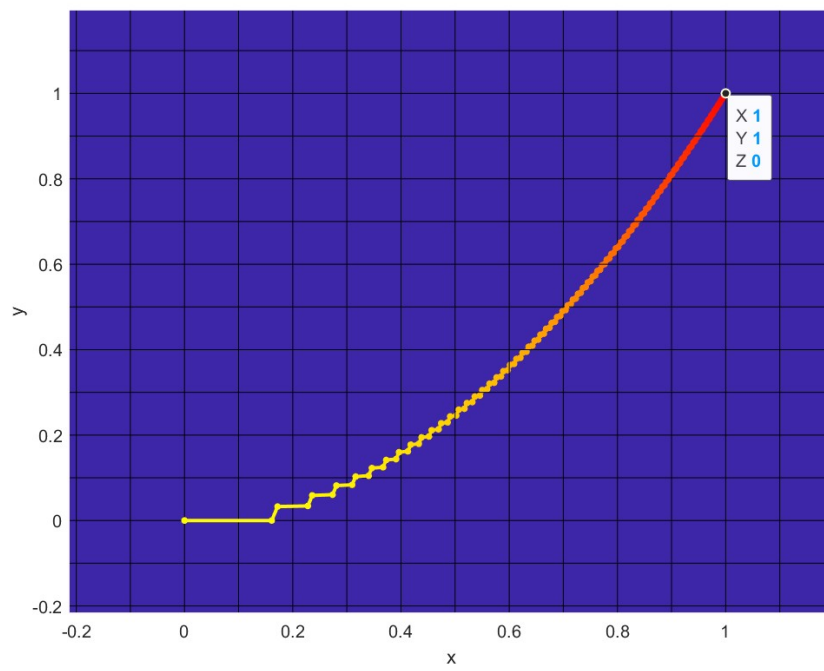
### 3.2.1 Rosenbrock 函数收敛路径

#### (1) 最速下降法收敛路径



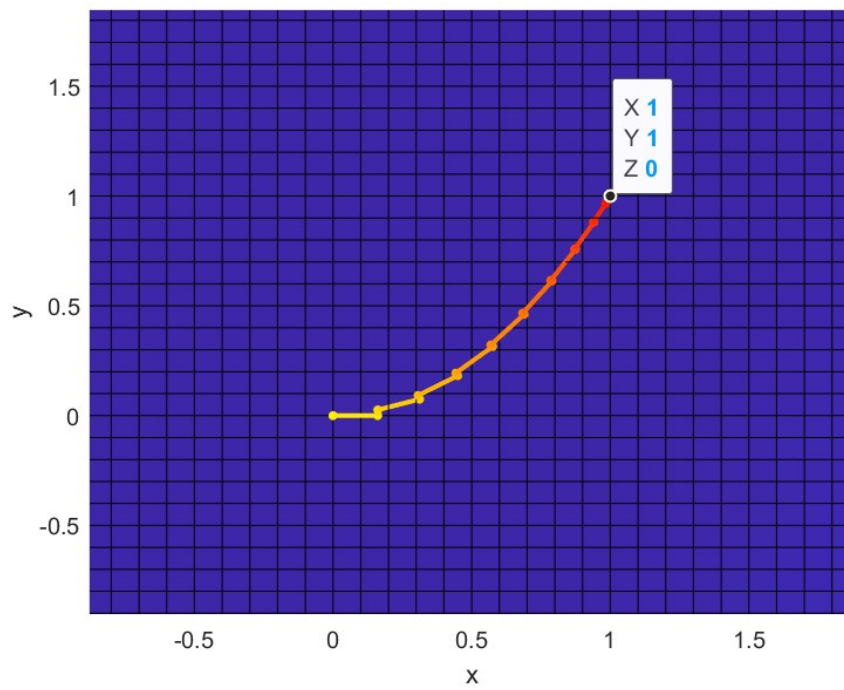
共迭代 5483 次

#### (2) 阻尼牛顿法收敛路径



共迭代 141 次

(3) BFGS 法收敛路径



共迭代 21 次

收敛速率分析：

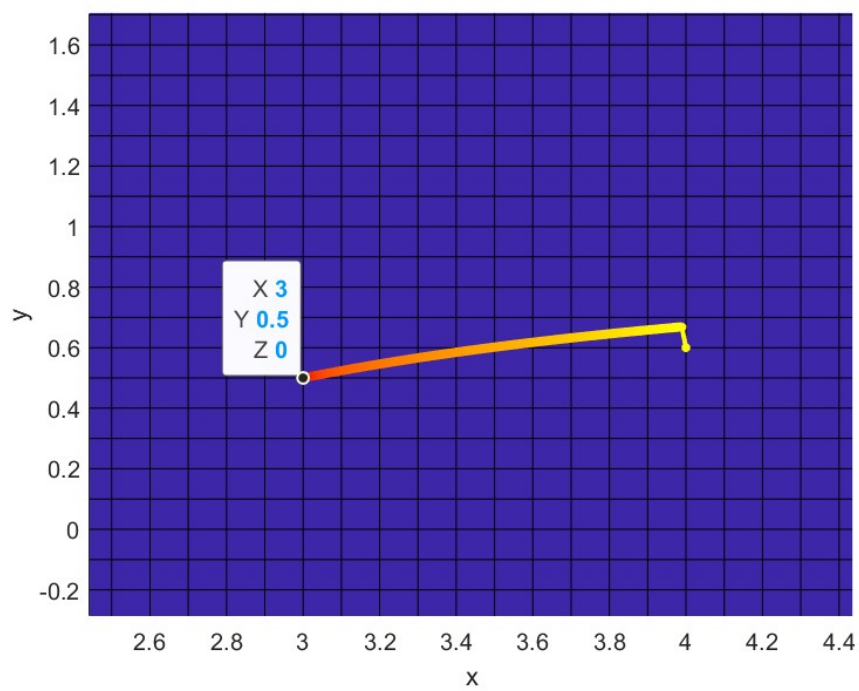
从迭代过程图中可看出 BFGS 的收敛速率最快，最速下降法的收敛速率最慢。

从表格（完整表格存于对应的结构体数据）中也可看出，由于最速下降法存在锯齿现象，在极小点附近步长极小。

1 Index	2 Value	3 x	4 y
5824	9.1405e-07	0.9990	0.9981
5825	9.1244e-07	0.9990	0.9981
5826	9.1088e-07	0.9990	0.9981
5827	9.0933e-07	0.9990	0.9981
5828	9.0773e-07	0.9990	0.9981
5829	9.0612e-07	0.9990	0.9981
5830	9.0446e-07	0.9990	0.9981
5831	9.0280e-07	0.9991	0.9981
5832	9.0105e-07	0.9991	0.9981
5833	8.9930e-07	0.9991	0.9981
5834	8.9765e-07	0.9991	0.9981
5835	8.9600e-07	0.9991	0.9981
5836	8.9443e-07	0.9991	0.9981
5837	8.9285e-07	0.9991	0.9981
5838	8.9133e-07	0.9991	0.9981
5839	8.8980e-07	0.9991	0.9981
5840	8.8824e-07	0.9991	0.9981
5841	8.8667e-07	0.9991	0.9981

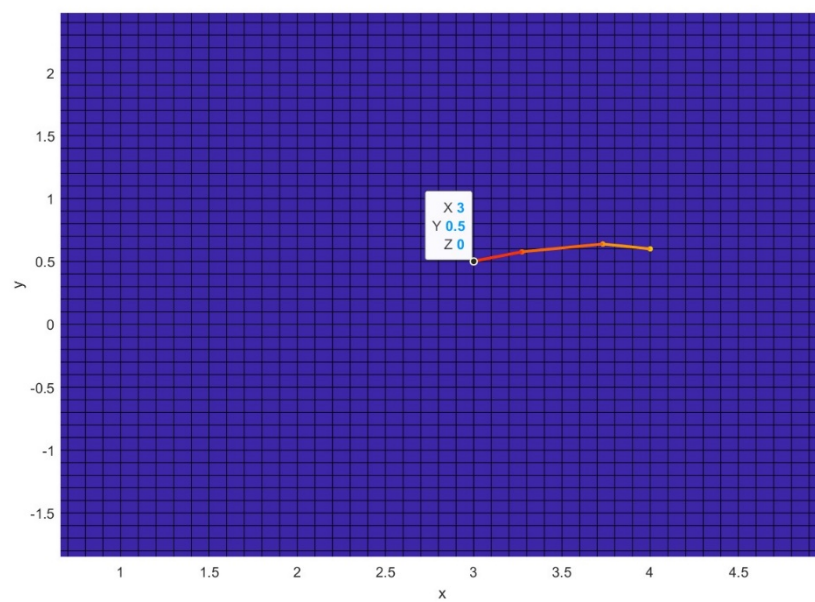
3.2.2 Beale 函数收敛路径

(1) 最速下降法收敛路径



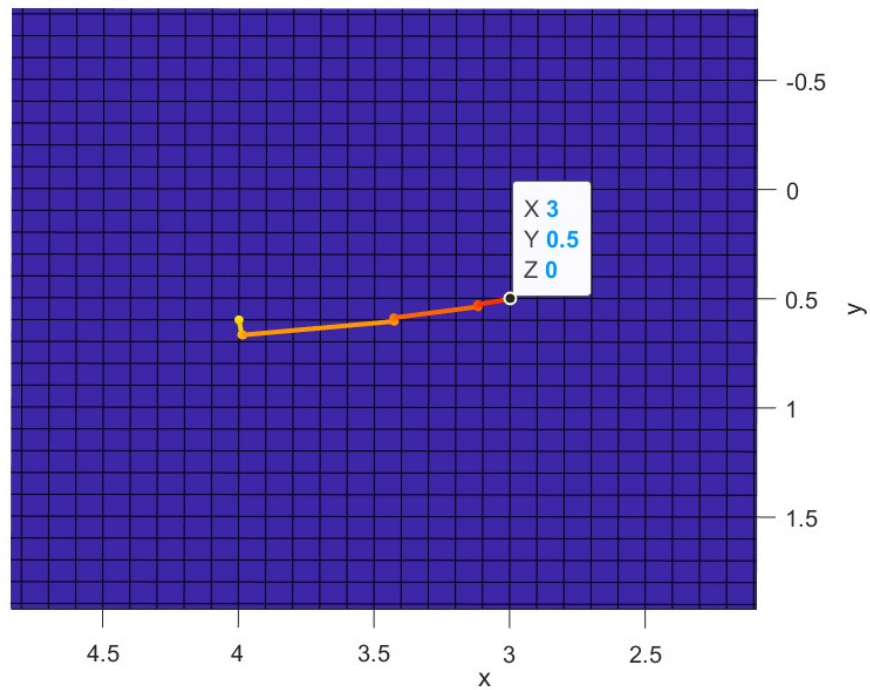
共迭代 844 次

(2) 阻尼牛顿法收敛路径



共迭代 5 次

(3) BFGS 法收敛路径



共迭代 10 次

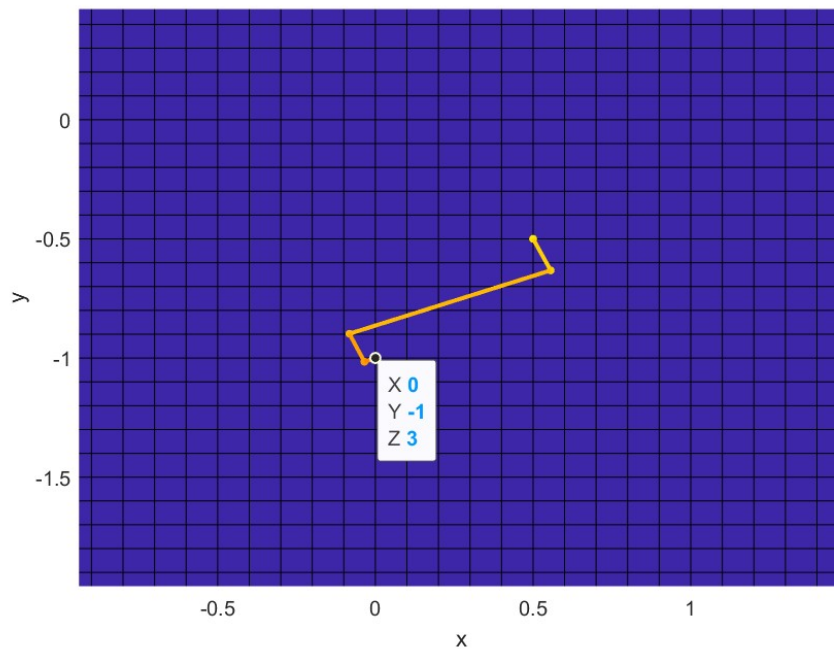
从迭代过程图中可看出阻尼牛顿法的收敛速率最快，最速下降法的收敛速率最慢。从表格（完整表格存于对应的结构体数据）中也可看出，由于最速下降法存在锯齿现象，在极小点附近步长极小。

1 Index	2 Value	3 x	4 y
825	1.4985e-06	3.0030	0.5008
826	1.4617e-06	3.0030	0.5007
827	1.4257e-06	3.0030	0.5008
828	1.3906e-06	3.0029	0.5007
829	1.3564e-06	3.0029	0.5007
830	1.3229e-06	3.0029	0.5007
831	1.2904e-06	3.0028	0.5007
832	1.2586e-06	3.0028	0.5007
833	1.2275e-06	3.0028	0.5007
834	1.1973e-06	3.0027	0.5007
835	1.1678e-06	3.0027	0.5007
836	1.1390e-06	3.0027	0.5007
837	1.1109e-06	3.0026	0.5007
838	1.0835e-06	3.0026	0.5006
839	1.0568e-06	3.0026	0.5007
840	1.0307e-06	3.0025	0.5006
841	1.0053e-06	3.0025	0.5006
842	9.8051e-07	3.0025	0.5006



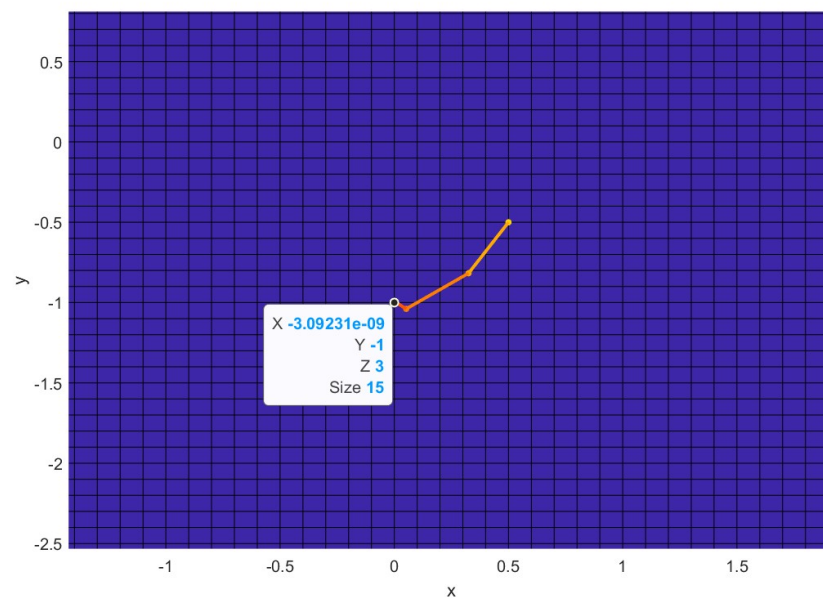
### 3.2.3 Goldstein\_price 函数收敛路径如下

#### (1) 最速下降法收敛路径



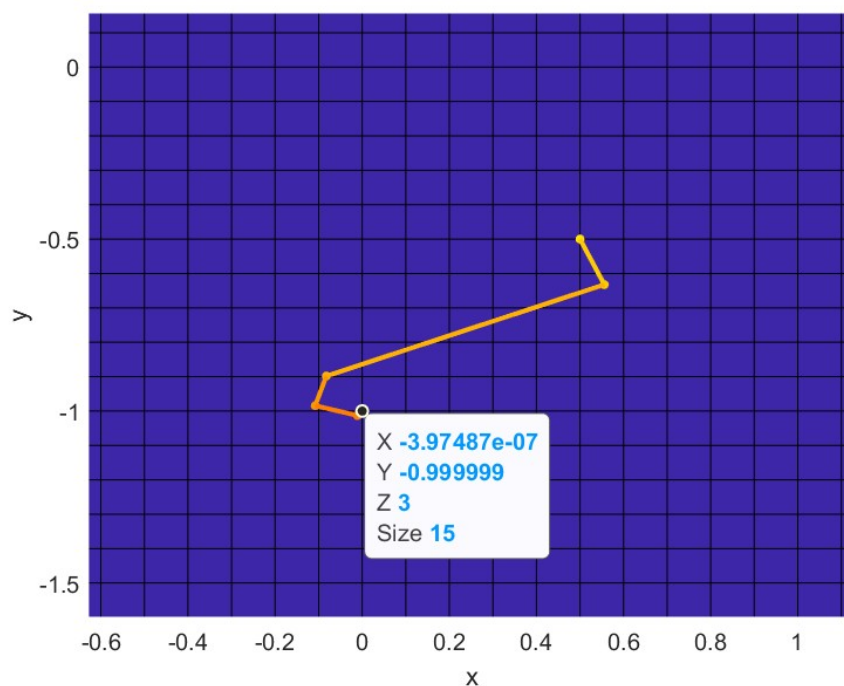
共迭代 11 次

#### (2) 阻尼牛顿法收敛路径



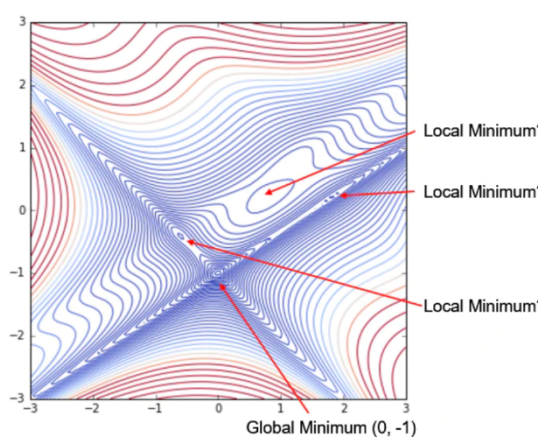
共迭代 6 次

### (3) BFGS 法收敛路径



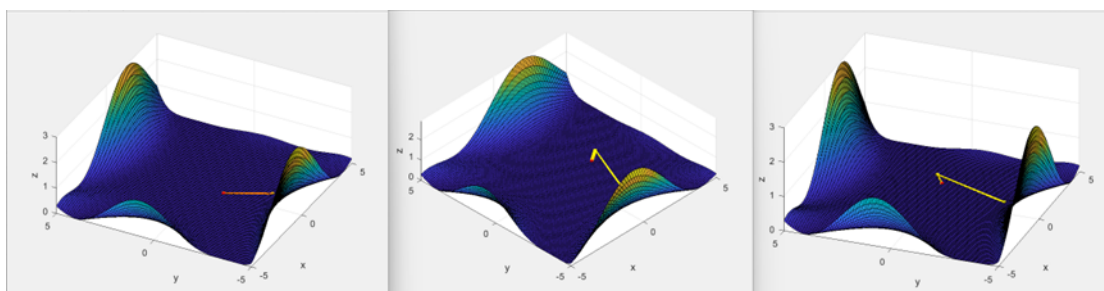
共迭代 10 次

从迭代过程图中可看出阻尼牛顿法与 BFGS 方法的收敛速度相近。由于 goldstein\_price 函数具有多个局部极小点，所以迭代初始点的选择较为重要，否则会收敛至局部极小而不是全局极小。



本次迭代选择的初始点为[-0.5, 0.5]，三种算法均可以迭代到全局极小。选择初始点为[1, -3]则只有阻尼牛顿法会到达全局极小点。





## 4 算法优缺点

### 4.1 最速下降法

从迭代过程可以看出，最速下降法往往仅在迭代开始时具有较快的收敛速度，在三种目标函数的迭代过程中，最速下降法的迭代次数总是远远超过其他两种算法。

优点：

- (1) 程序简单，计算量小；
- (2) 对初始点没有特别的要求；
- (3) 最速下降法是整体收敛的，且为线性收敛

缺点：

- (1) 它只在局部范围内具有“最速”属性，对整体求解过程，它的下降速度是缓慢的；
- (2) 靠近极小值时速度减慢；
- (3) 存在锯齿现象

### 4.2 阻尼牛顿法

阻尼牛顿法因为牛顿方向不一定是下降方向，所以在远离极小点时很有可能不收敛，在迭代开始时需要选择合适的初始点。

优点：

(1) 二次终止性：在满足某些条件下，阻尼牛顿法在收敛时至少二级收敛，它的收敛速度非常快。

(2) 稳定性：通过引入步长，阻尼牛顿法可以避免牛顿法在某些情况下可能出现的发散问题。

(3) 适用于非线性问题：阻尼牛顿法可以应用于寻找非线性函数的最小值或零点。

缺点：

(1) 计算成本：阻尼牛顿法需要在每一步计算函数的黑塞矩阵（Hessian）及其逆，在处理大规模问题时算力的开支非常昂贵。

(2) 黑塞矩阵的正定性：阻尼牛顿法需要假设黑塞矩阵是正定的，在实际问题中并不总是成立。

(3) 初始点选择：和其他迭代优化方法一样，阻尼牛顿法的收敛性和收敛速度受到初始点的影响。

## 4.2 BFGS 方法

BFGS 方法是拟牛顿法的一种，它克服了牛顿法中黑塞矩阵可能非正定的问题，同样也具有二次终止性。在三种函数的迭代过程中可以看出，BFGS 方法具有良好的收敛性与迭代速度。

优点：

(1) 避免直接计算黑塞矩阵：BFGS 方法只需要计算目标函数的一阶导数，而不是直接计算二阶导数（黑塞矩阵），减少了计算复杂性和计算成本。

(2) 超线性收敛速度：BFGS 方法在良好条件下可以具有超线性的收敛速度，这比梯度下降法的线性收敛速度要快得多。

缺点：

(1) 存储和计算成本：尽管 BFGS 方法避免了直接计算黑塞矩阵，但是需要存储和更新一个大小为  $n \times n$  的矩阵，这在  $n$  非常大的情况下可能会导致存储和计算成本显著增加。

(2) 线搜索的复杂性：BFGS 方法需要在每一步进行线搜索，以确定沿搜索方向的步长，增加了计算成本。

(3) 对初始点和初始矩阵的依赖性：BFGS 方法的收敛性和收敛速度可能会受到初始点和初始矩阵选择的影响。